



УДК 621.318.001.2

© 2008

Член-корреспондент НАН України А. Е. Божко

**Анализ возможного воспроизведения удара  
электромагнитным вибровозбудителем  
при прямоугольном входном сигнале**

*The features in the impact formation by an electromagnetic vibroexciter on a jump-like input signal are shown.*

Применение электромагнитных вибровозбудителей (ЭМВ) в качестве источников механических ударов является актуальной задачей. Комплексное воспроизведение ударов совместно с вибрациями важно для динамических испытаний на надежность транспортных средств. В связи с этим анализ возможностей ЭМВ при воспроизведении, в частности, прямоугольной формы удара полезен для понимания процессов, происходящих в системе ЭМВ.

Прямоугольный импульс  $U(t)$  может быть представлен в виде разности двух скачкообразных функций (см. рис. 1)

$$U(t) = U1(t) - U1(t - \tau), \quad (1)$$

где  $t$  — время;  $\tau$  — длительность импульса;  $1(t)$  — единичная скачкообразная функция  $\left\{ \begin{array}{l} 1 \text{ при } t > 0 \\ 0 \text{ при } t \leq 0 \end{array} \right\}$ .

В работах [1, 2] скачкообразная функция  $U1(t)$  выражается в виде особого разложения

$$U1(t) = (1 - e^{-\alpha t}) + e^{-\alpha t} \sum_{k=1}^n U_{ak} \cos \omega_k t, \quad (2)$$

$$\sum_{k=1}^n U_{ak} = U; \quad U_{a1} = \frac{U}{\pi \omega_1}; \quad U_{ak} = \frac{U_{a1}}{\omega_k},$$

где  $\alpha$  — коэффициент затухания;  $\omega_k$  — круговая частота ( $\omega_k = 2\pi f_k$ ,  $f_k$  — частота, Гц). Если применить разложение (2) к записи (1), то (1) будет иметь вид

$$U(t) = U(1 - e^{-\alpha t}) + e^{-\alpha t} \sum_{k=1}^n U_{ak} \cos \omega_k t - U[1 - e^{-\alpha(t-\tau)}] - e^{-\alpha(t-\tau)} \sum_{k=1}^n U_{ak} \cos \omega_k(t-\tau). \quad (3)$$

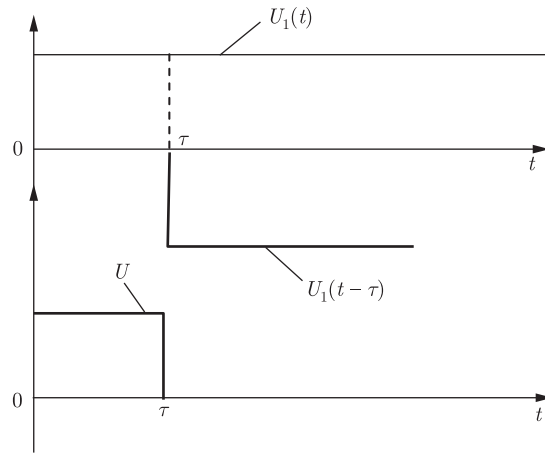


Рис. 1

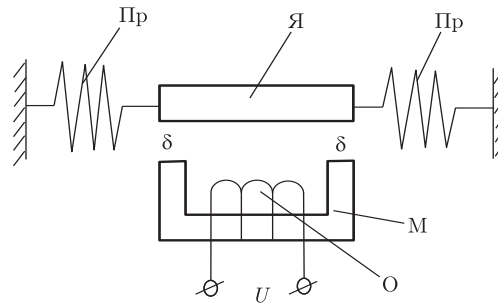


Рис. 2

Именно такого вида (3) прямоугольный импульс  $U(t)$  подается на обмотку ЭМВ. Электромагнитомеханическая схема ЭМВ изображена на рис. 2, где М — магнитопровод; Я — якорь (подвижная платформа); Пр — пружина; О — обмотка;  $\delta$  — воздушный зазор. Уравнение электрической цепи обмотки О при подаче на нее импульса (3) имеет вид

$$\begin{aligned}
 U(1 - e^{-\alpha t}) + e^{-\alpha t} \sum_{k=1}^n U_{ak} \cos \omega_k t - U[1 - e^{-\alpha(t-\tau)}] - \\
 - e^{-\alpha(t-\tau)} \sum_{k=1}^n U_{ak} \cos \omega_k(t - \tau) = ri + L \frac{di}{dt}.
 \end{aligned} \quad (4)$$

Здесь  $r$  — активное сопротивление цепи обмотки О;  $L$  — индуктивность обмотки О;  $i$  — электрический ток в обмотке О.

В соответствии с законом полного тока [3]

$$iwG = \Phi, \quad (5)$$

где  $\Phi$  — магнитный поток в ЭМВ;  $w$  — число витков обмотки О;  $G$  — магнитная проводимость в ЭМВ;  $G = \mu_0 S / (2\delta)$  ( $\mu_0$  — магнитная проницаемость воздуха;  $S$  — площадь попе-

речного сечения полюса магнитопровода  $M$  у воздушного зазора  $\delta$ ). Ток  $i$  через  $\Phi$  создает в ЭМВ тяговое усилие [4]  $F = \Phi^2/(\mu_0 S)$ , или, с учетом (5),

$$F = \mu_0 S \left( \frac{iw}{2\delta} \right)^2. \quad (6)$$

Это тяговое усилие, действуя на якорь  $Я$ , являющийся колебательной системой, вызывает перемещение  $x$  якоря и в соответствии с уравнением движения

$$m \frac{d^2 x}{dt^2} + b \frac{dx}{dt} + cx = F, \quad (7)$$

где  $m$  — масса якоря совместно с массой объекта, находящегося на якоре;  $b$ ,  $c$  — коэффициенты диссипации и упругости соответственно.

Как видно из (4), (6), (7), выражение для формируемого удара в виде  $x$  может быть найдено в результате решений уравнений (4) и (7) с использованием (6). Решение указанных уравнений будем осуществлять операционным методом Карсона [5]. Представим уравнения (4) и (6) в виде изображений Карсона. При этом введем рассмотрение процесса прохождения импульса до момента  $\tau$  и после этого момента. Тогда решение будет распадаться на две части, а именно: решение уравнения

$$U[1 - \ell^{-\alpha t}] + \ell^{-\alpha t} \sum_{k=1}^n U_{ak} \cos \omega_k t = ri + L \frac{di}{dt} \quad (8)$$

и уравнения, возникшего в результате действия  $U1(t)$  и  $1(t - \tau)$  в момент  $\tau$  и после него. В момент  $\tau$  начальным условием для решения (7) является решение уравнения (8). При таком рассуждении уравнение (8) в изображениях Карсона имеет вид

$$\frac{U\alpha}{p + \alpha} + \sum_{k=1}^n \frac{U_{ak} p(p + \alpha)}{(p + \alpha)^2 + \omega_k^2} = (r + pL)I,$$

откуда изображение тока  $I$  запишется соотношением

$$I = \frac{U\alpha}{(p + \alpha)(pL + r)} + \frac{1}{(pL + r)} \sum_{k=1}^n \frac{U_{ak} p(p + \alpha)}{(p + \alpha)^2 + \omega_k^2}. \quad (9)$$

Оригинал тока  $i(t)$ , соответствующий изображению (9), определяем по таблицам [5] выражением

$$\begin{aligned} i(t) = & \frac{U\alpha}{L} \left[ \frac{1}{\alpha\beta} + \frac{1}{\alpha - \beta} \left( \frac{1}{\alpha} \ell^{-\alpha t} - \frac{1}{\beta} \ell^{-\beta t} \right) \right] + \\ & + \frac{1}{L} \sum_{k=1}^n \left\langle \frac{U_{ak}\alpha}{(\alpha - \beta)^2 + \omega_k^2} \left\{ \ell^{-\beta t} + \frac{\ell^{-\alpha t}}{\omega_k} [-\omega_k \cos \omega_k t + (\beta - \alpha) \sin \omega_k t] \right\} + \right. \\ & \left. + \frac{U_{ak}}{(\alpha - \beta)^2 + \omega_k^2} \left\{ -\beta \ell^{-\beta t} + \frac{\ell^{-\alpha t}}{\omega_k} [\omega_k \cos \omega_k t + (\omega_k^2 + \alpha^2 - \alpha\beta) \sin \omega_k t] \right\} \right\rangle, \quad (10) \end{aligned}$$

где  $\beta = r/L$  — коэффициент затухания в цепи 0.

Далее, подставляя (10) в (6), находим тяговое усилие в виде

$$F = \mu_0 S \left( \frac{w}{2\delta} \right)^2 [(10)]^2, \quad (11)$$

где  $[(10)]^2$  — квадрат тока  $i(t)$ , выражаемого соотношением (10).

Проверим правильность (11) с учетом (10). При  $t = 0$   $F = 0$ , при  $t = \infty$  (т. е. рассматривается, что при  $\tau$  переходный процесс прошел)  $F = \mu_0 S \left( \frac{w}{2\delta} \frac{U}{r} \right)^2$ . Эта проверка показывает правильность нашего решения. Если посчитать, что  $\alpha = \infty$ , то  $F = \mu_0 S \left( \frac{w}{2\delta} \frac{U}{r} \right)^2$ , т. е. получается такое выражение  $F$ , как в случае  $U1(t) = U$ . При  $t \geq \tau$   $|U1(t)| = |U1(t - \tau)|$  и ток

$$\begin{aligned} i(\tau) = & \frac{U}{r} - \frac{U\alpha}{L} \left[ \frac{1}{\alpha\beta} + \frac{1}{\alpha - \beta} \left( \frac{1}{\alpha} \ell^{-\alpha\tau} - \frac{1}{\beta} \ell^{-\beta\tau} \right) \right] - \\ & + \frac{1}{L} \sum_{k=1}^n \left\langle \frac{U_{ak}\alpha}{(\alpha + \beta)^2 + \omega_k^2} \left\{ \ell^{-\beta\tau} + \frac{\ell^{-\alpha\tau}}{\omega_k} [-\omega_k \cos \omega_k \tau + (\beta - \alpha) \sin \omega_k \tau] \right\} + \right. \\ & \left. + \frac{U_{ak}}{(\alpha - \beta) + \omega_k^2} \left\{ -\beta \ell^{-\beta\tau} + \frac{\ell^{-\alpha\tau}}{\omega_k} [\omega_k \cos \omega_k \tau + (\omega_k^2 + \alpha^2 - \alpha\beta) \sin \omega_k \tau] \right\} \right\rangle, \quad (12) \end{aligned}$$

а тяговое усилие при  $t = \tau$  определяется выражением  $F = \mu_0 S (w/(2\delta))^2 [(12)]^2$ , где  $[(12)]^2$  — квадрат тока  $i(\tau)$ , выражаемого соотношением (12).

Из (12) получается, что при  $t = \infty$   $i(\infty) = 0$ , а вблизи  $t \geq \tau$   $i(t \geq \tau) = (U/r) \ell^{-\beta t}$  и в конце импульса (на его спаде) тяговое усилие

$$F \approx \mu_0 S \left( \frac{wU}{2\delta r} \ell^{-\beta t} \right)^2. \quad (13)$$

Далее, имея выражения (11), (13), можно определить перемещение  $x$  якоря (Я) путем решения уравнения (7). Для упрощения и сокращения математических выкладок представим (10) в виде

$$i(t) = i_0(t) + \sum_{k=1}^n I_{ak} \ell^{-\alpha t} \sin \omega_k t, \quad (14)$$

где

$$\begin{aligned} i_0(\tau) = & \frac{U\alpha}{L} \left[ \frac{1}{\alpha\beta} + \frac{1}{\alpha - \beta} \left( \frac{1}{\alpha} \ell^{-\alpha\tau} - \frac{1}{\beta} \ell^{-\beta\tau} \right) \right] + \frac{1}{L} \sum_{k=1}^n \frac{U_{ak}(\alpha - \beta)}{(\alpha - \beta)^2 + \omega_k^2} \ell^{-\beta\tau}, \\ I_{ak} = & \frac{U_{ak} \cdot \alpha}{L\omega_k} (\beta - \alpha + \omega_k^2 + \alpha^2 - \beta^2) \frac{1}{(\alpha - \beta)^2 + \omega_k^2}. \end{aligned}$$

Тяговое усилие  $F$  с учетом (14) записывается соотношением

$$F = j \left[ i_0(t) + \sum_{k=1}^n I_{ak} \ell^{-\alpha t} \sin \omega_k^t \right]^2,$$

где  $j = \mu_0 S(w/(2\delta))^2$  или, после возведения его в квадрат,

$$F = j \left[ i_0^2(t) + 2i_0(t) \sum_{k=1}^n I_{ak} \ell^{-\alpha t} \sin \omega_k^t + \left( \sum_{k=1}^n I_{ak} \ell^{-\alpha t} \sin \omega_k^t \right)^2 \right]. \quad (15)$$

Поскольку последнее слагаемое в (15) является квадратом суммы, то после тригонометрических преобразований в этом слагаемом имеются чисто экспоненциальные составляющие  $(1/2)I_{ak}^2 \ell^{-2\alpha t}$ , экспоненциально затухающие гармоники с частотами  $2\omega_k$ ,  $(\omega_k + \omega_l)/2$ ,  $(\omega_k - \omega_l)/2$ ,  $k \neq l$ ,  $k = \overline{1, n}$ ,  $l = \overline{1, n}$ . Заметим, что в слагаемое  $i_0^2(t)$  в (15) входят, кроме постоянных, экспоненциально-затухающие составляющие.

Так как уравнение (7) является линейным, то при его решении может быть применен метод суперпозиции, т.е. реакция  $x(t)$  колебательной системы ЭМВ на сложное тяговое усилие  $F$  может быть равна сумме реакций  $x_s$ ,  $s = \overline{0, m}$ ,  $m > n$  на каждую составляющую тягового усилия. Известно [6], что реакция колебательной системы типа (7) на постоянную составляющую  $F_0$  воздействия записывается в виде

$$x_0 = \frac{mF_0}{c} \left[ 1 - \ell^{\frac{b}{2m}t} \left( \cos \omega_{01}t + \frac{b}{2m\omega_{01}} \sin \omega_{01}t \right) \right],$$

$$\text{где } \omega_{01} = \sqrt{\frac{c}{m} - \left( \frac{b}{2m} \right)^2}.$$

Реакция колебательной системы (7) на экспоненциально-затухающие воздействия  $F_{e\alpha} = F_{e\alpha\alpha} \ell^{-\alpha t}$ ,  $F_{e\beta} = F_{e\alpha\alpha} \ell^{-\beta t}$  записывается соотношениями

$$\begin{aligned} x_{e\alpha} &\approx \frac{F_{e\alpha\alpha}}{\alpha^2 + \omega_{01}^2} \left[ \ell^{-\alpha t} - \frac{\alpha \ell^{-\beta t}}{\omega_{01}} (\sin \omega_{01}t + \cos \omega_{01}t) \right], \\ x_{e\beta} &\approx \frac{F_{e\alpha\beta}}{\beta^2 + \omega_{01}^2} \left\{ \ell^{-\beta t} \left[ 1 - \left( \frac{\beta}{\omega_{01}} \sin \omega_{01}t + \cos \omega_{01}t \right) \right] \right\}. \end{aligned} \quad (16)$$

Далее рассмотрим зависимость в (7)  $x_{\Gamma ek}(t)$  от тягового усилия  $F_{\Gamma ek} = F_{ak} \ell^{-\alpha t} \cos \omega_k t$ .

Выражение  $x_{\Gamma ek}(t)$  в зависимости от  $F_{\Gamma ek}$  было определено операционным методом на основе разложения изображения  $x_{\Gamma ek}(p)$  на простые дроби и получения оригинала по таблицам [5]. В результате

$$x_{\Gamma ek}(t) = \frac{F_{ak}}{m} \left[ A \ell^{-\alpha t} \left( \cos \omega_k t - \frac{\alpha}{\omega_k} \sin \omega_k t \right) + \frac{B}{\omega_0} \ell^{-\frac{b}{2m}t} \sin \omega_0 t \right],$$

где

$$A = \frac{\alpha^2 + \omega_k^2 - 2\alpha}{\omega_0^2(\alpha^2 + \omega_k^2)}; \quad B = \frac{\alpha}{\alpha^2 + \omega_k^2}; \quad \omega_0 = \sqrt{\frac{c}{m}}.$$

Перемещение  $x_3(t)$  якоря на спаде (заднем фронте) тягового усилия  $F$ , описываемого выражением (13), математически сходно с выражением (16). Здесь только вместо  $F_{ea\beta}$  необходимо поставить  $\mu_0 S(wU/(2\delta r))^2$  и вместо  $\beta - 2\beta$ . Все вычисленные выражения для перемещения  $x(t)$  колебательной системы ЭМВ, за исключением некоторых постоянных составляющих, относятся к одной  $k$ -й гармонике. Суммарное же перемещение  $x_\Sigma(t)$  будет иметь более  $2n$  составляющих. Передний фронт  $x_\Sigma(t)$  представляет сумму нарастающей экспоненты и затухающих с коэффициентом затухания  $\alpha$  более  $2n$  гармоник с частотами  $\omega_k, (\omega_k + \omega_l)/2, (\omega_k - \omega_l)/2, l \neq k, k = \overline{1, n}, l = \overline{1, n}$ . Заметим, что  $\alpha \gg \beta = b/(2m)$ . Вершина  $x_\Sigma(t)$  имеет до времени  $t = \tau$  постоянные составляющие, а задний фронт экспоненциально затухает при наличии также затухающих с коэффициентом затухания  $\alpha$  гармоник, создаваемых скачкообразным напряжением  $U1(t - \tau)$ .

Из данного анализа следует вывод, что четкого прямоугольной формы удара ЭМВ с параметрами  $\omega_k L \gg r$  воспроизвести не может. Для приближения формы  $x_\Sigma(t)$  к прямоугольной необходимо управлять ЭМВ от генератора тока, т. е., чтобы  $r \gg \omega_k L$ . А еще лучше ввести в промежуток между якорем и полюсом магнитопровода (в воздушный зазор  $\delta$ ) немагнитную металлическую пластину, удар якоря о которую обеспечит прямоугольную форму удара.

1. Божко А. Е. Новая интерпретация переходных процессов в электроцепях // Доп. НАН України. – 2004. – № 9. – С. 83–87.
2. Божко А. Е. Аргументация новой концепции о переходных процессах в электроцепях с позиций волновой механики // Там само. – 2006. – № 3. – С. 83–89.
3. Бессонов Л. А. Теоретические основы электротехники. – Москва: Высш. шк., 1978. – 528 с.
4. Ступель Ф. А. Электромеханические реле. – Харьков: Изд-во Харьков. гос. ун-та, 1956. – 355 с.
5. Гинзбург С. Г. Методы решения задач по переходным процессам в электрических цепях. – Москва: Сов. радио, 1959. – 404 с.
6. Божко А. Е., Голуб Н. М. Динамико-энергетические связи колебательных систем. – Киев: Наук. думка, 1980. – 188 с.

*Институт проблем машиностроения  
им. А. Н. Подгорного НАН Украины, Харьков*

*Поступило в редакцию 19.02.2007*